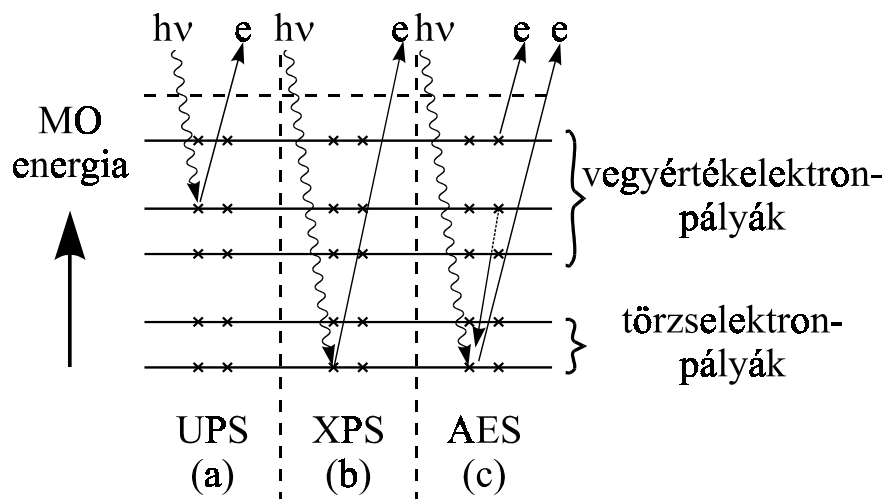
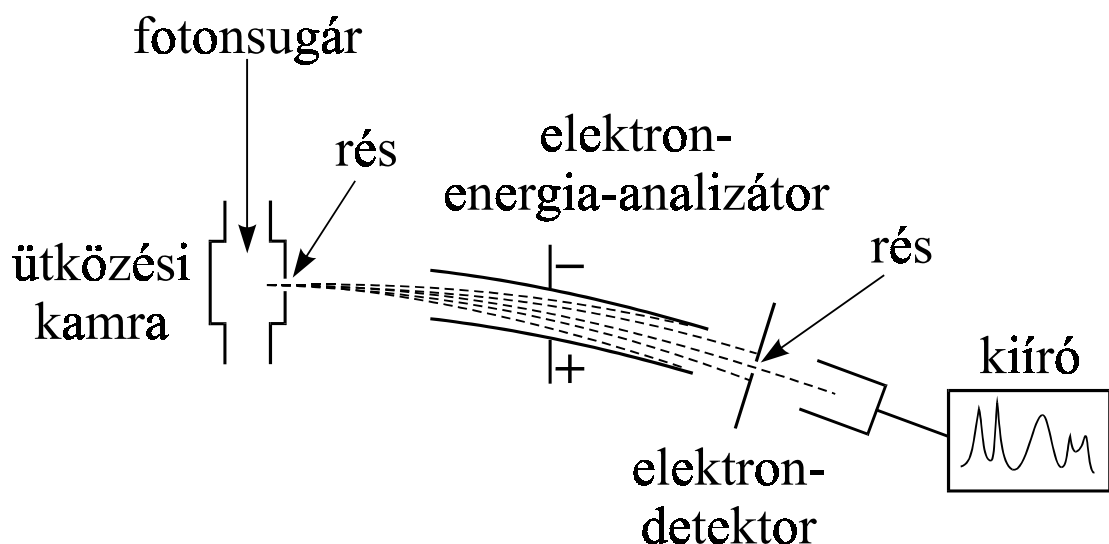


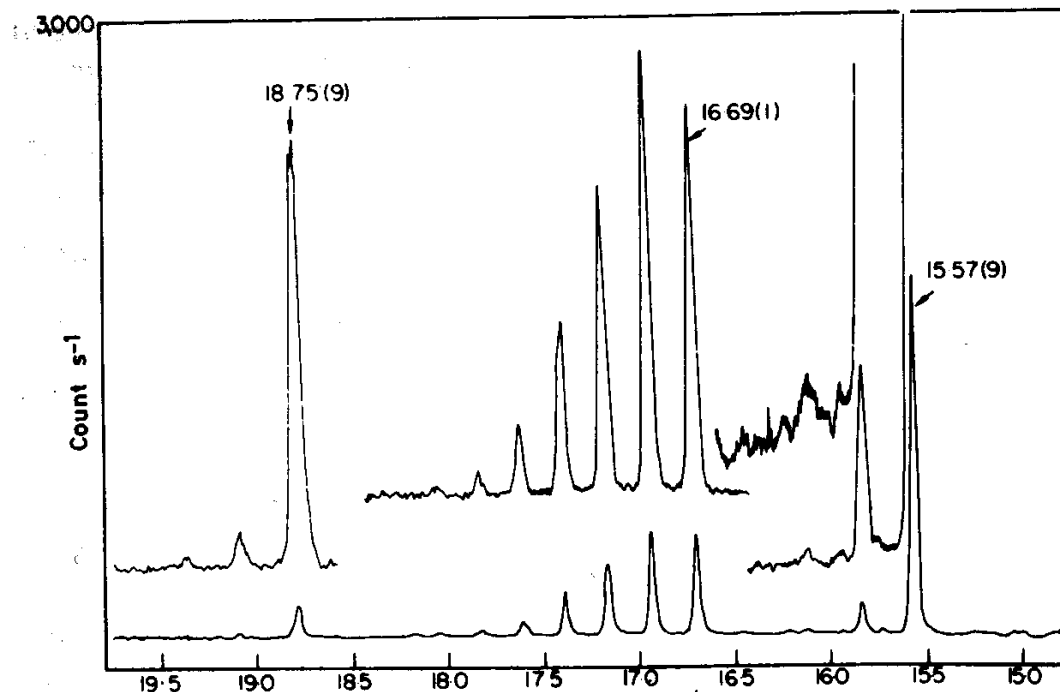
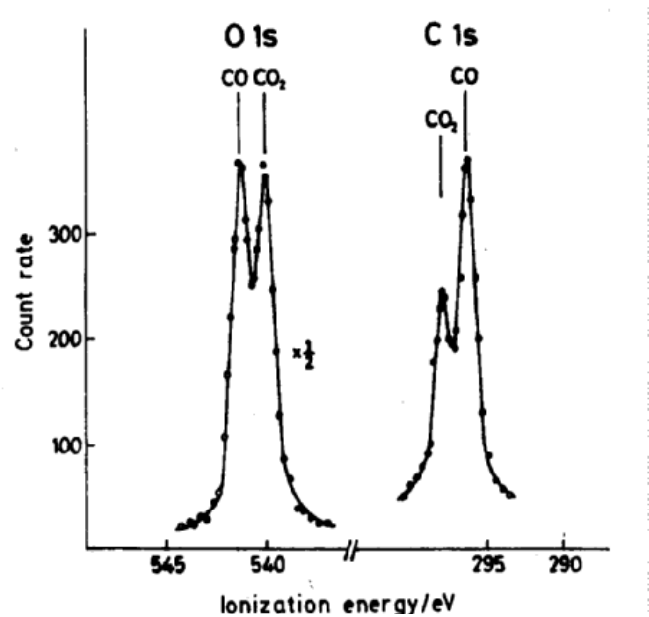
9. Fotoelektron-spektroszkópia

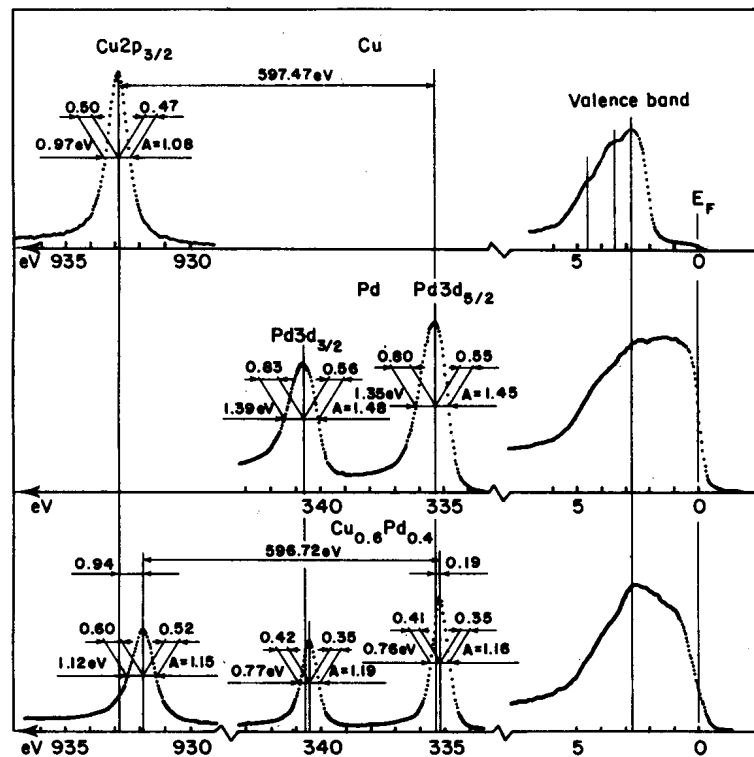


9.1. ábra. Fotoelektron-spektroszkópiai módszerek

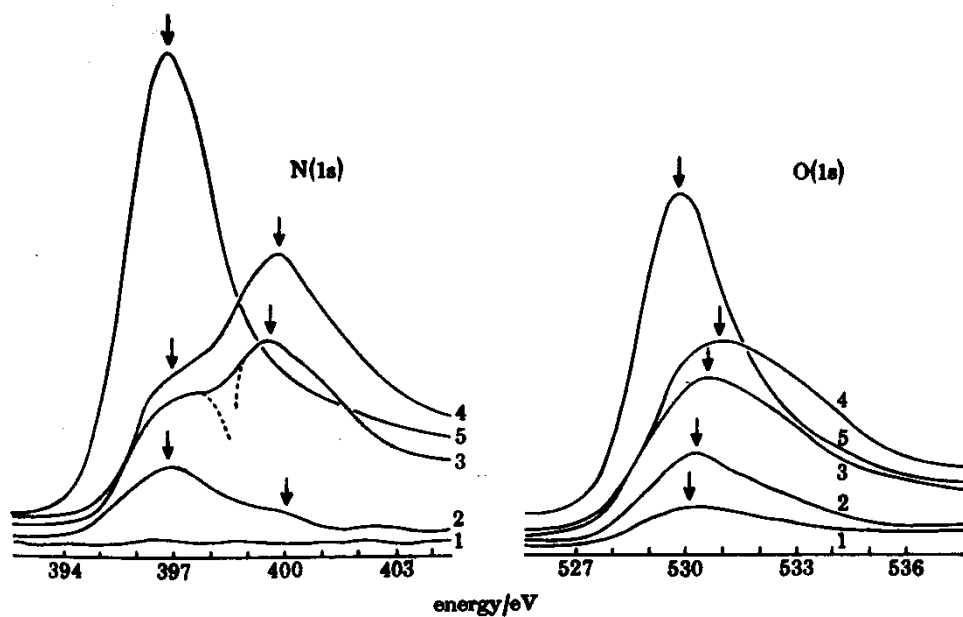


9.2. ábra. UP-spektrométer vázlata

9.3. ábra. N₂-fotoelektron-spektrum9.4. ábra. 2:1 mólárányú CO-CO₂ gázelegy XP spektruma

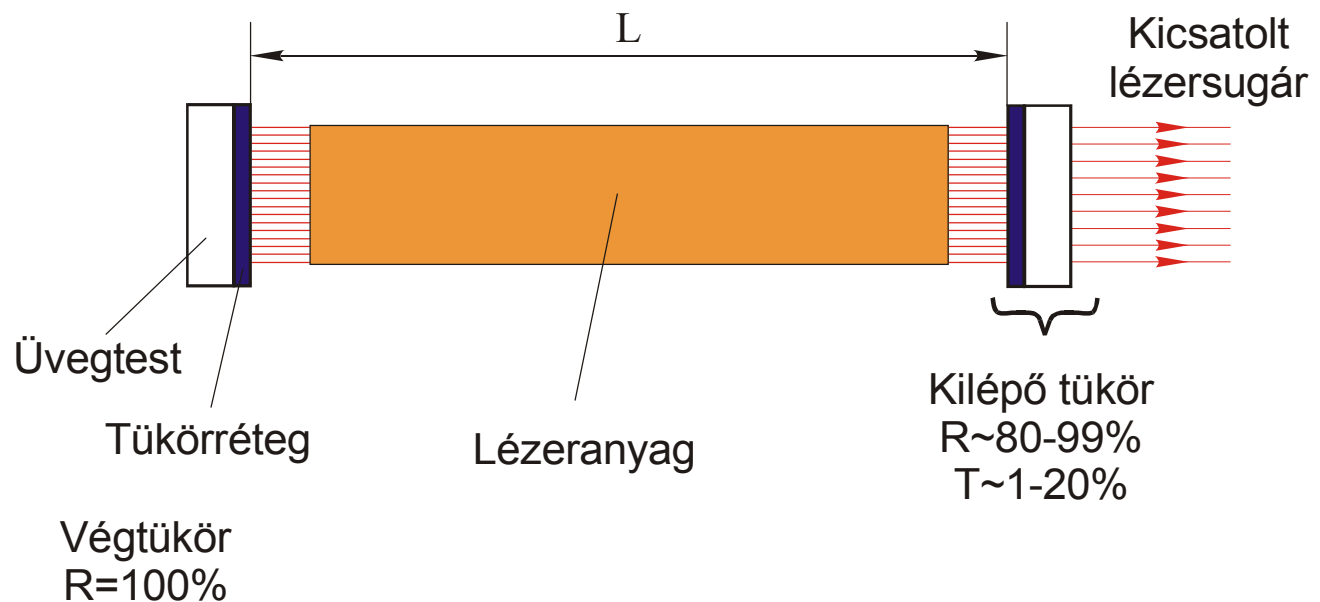


9.5. ábra. Cu, Pd, és Cu $_{0.6}$ Pd $_{0.4}$ ötvözet XP-színképe

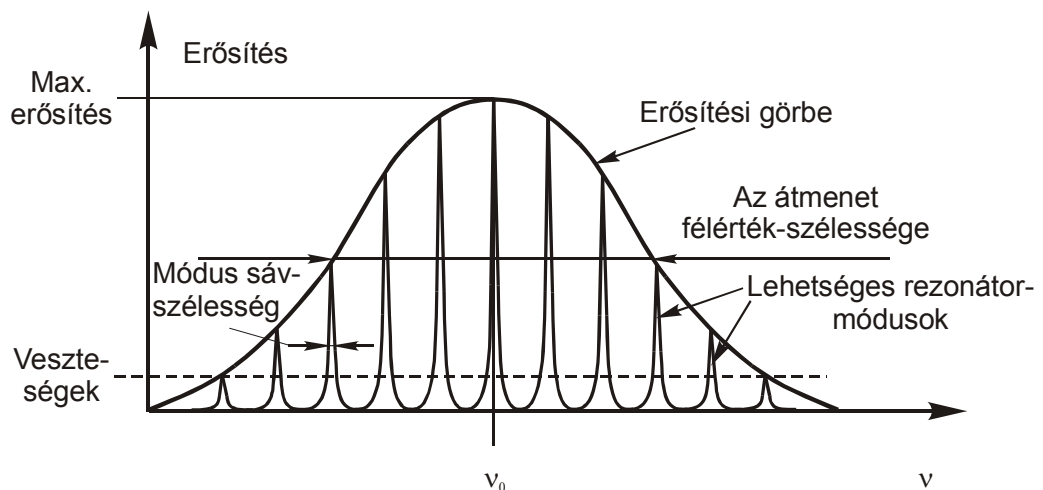


9.6. ábra. Fe-felületen adszorbeált NO XP-színképe

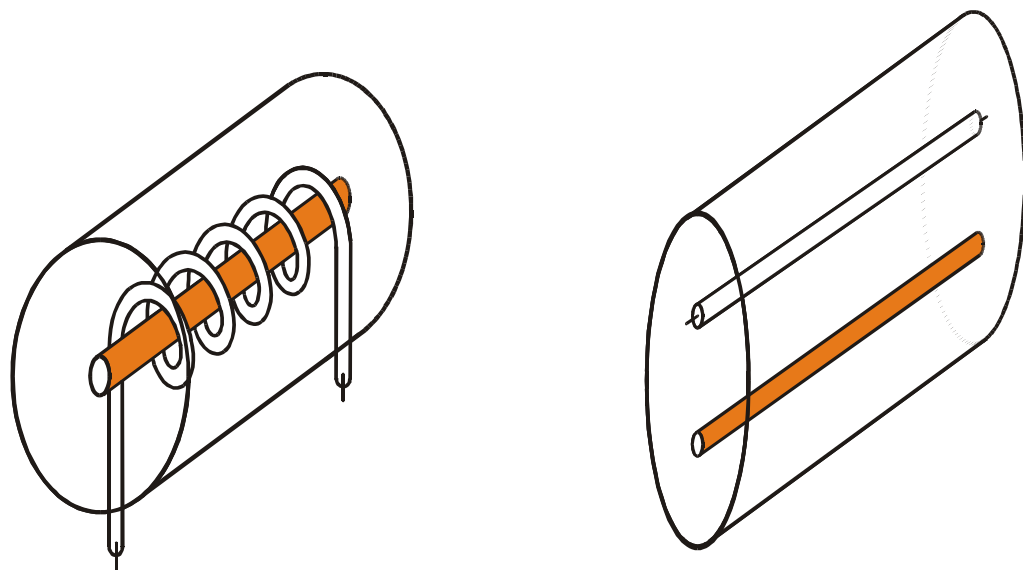
10. Lézerek



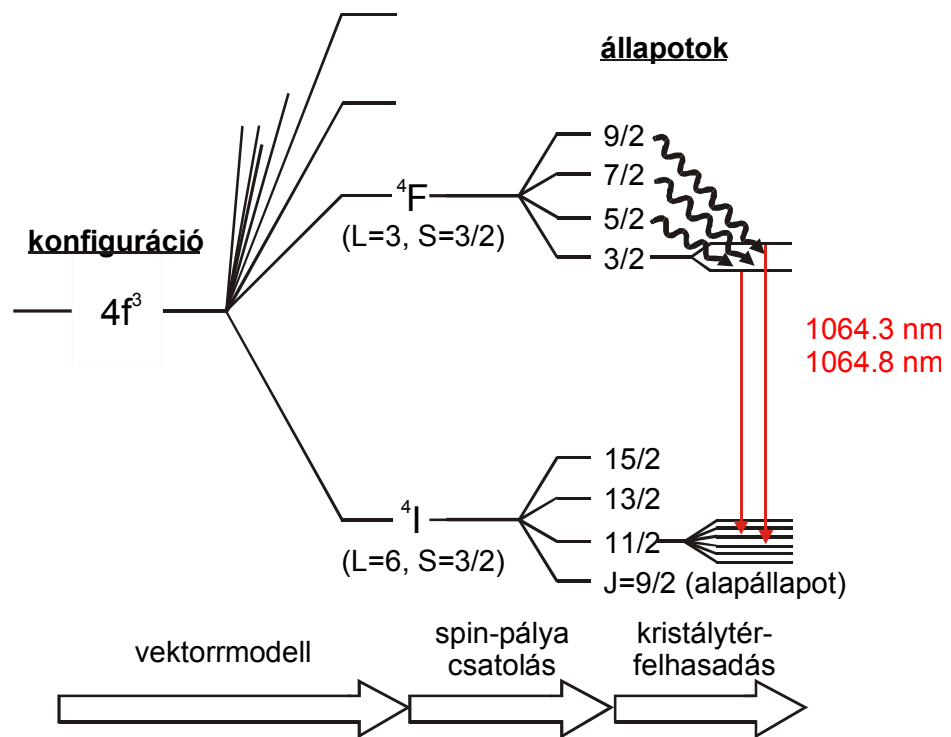
10.1. ábra Optikai rezonátor



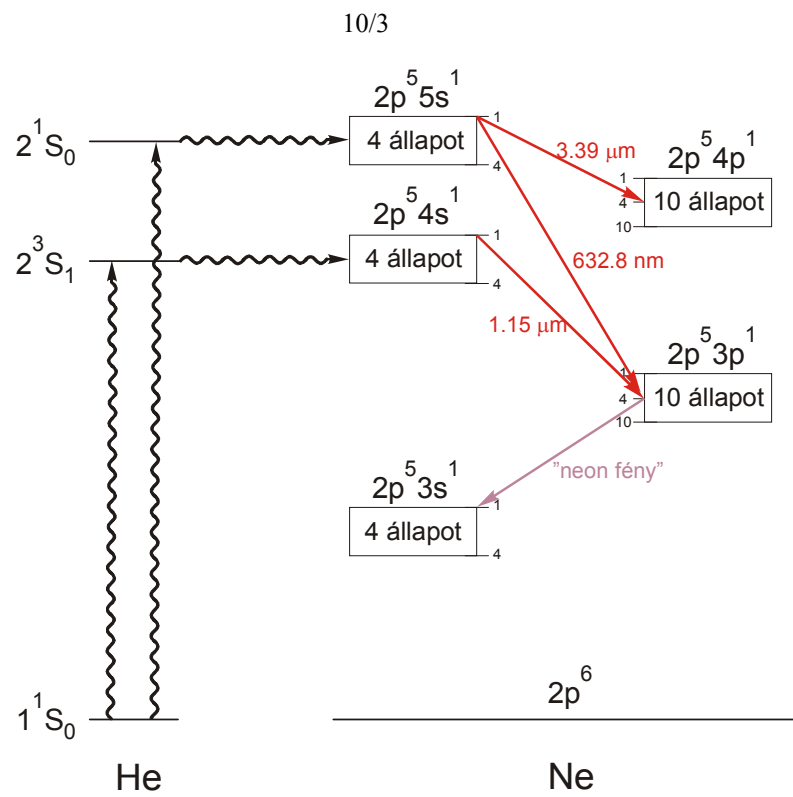
10.2. ábra. A lézersugár spektruma



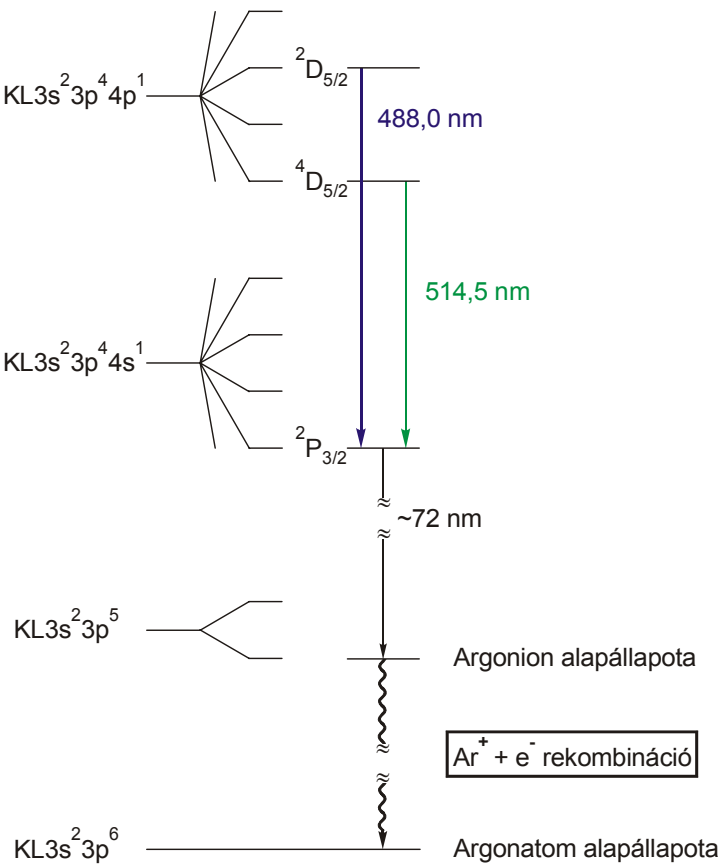
10.3. ábra. Ionkristálylézerek felépítése



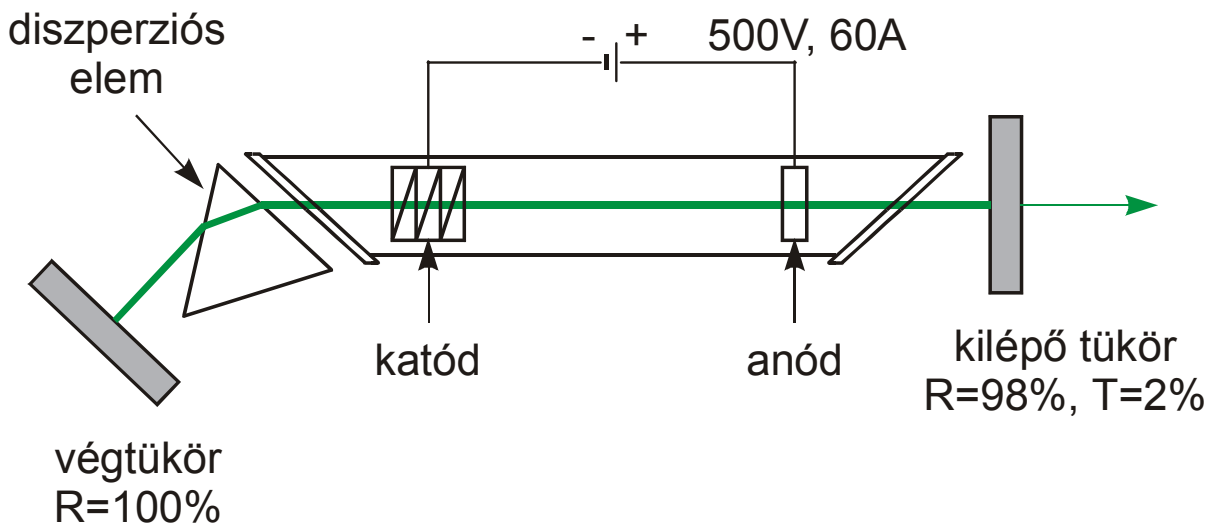
10.4. ábra. Neodínium-YAG lézer energiaszint-diagramja



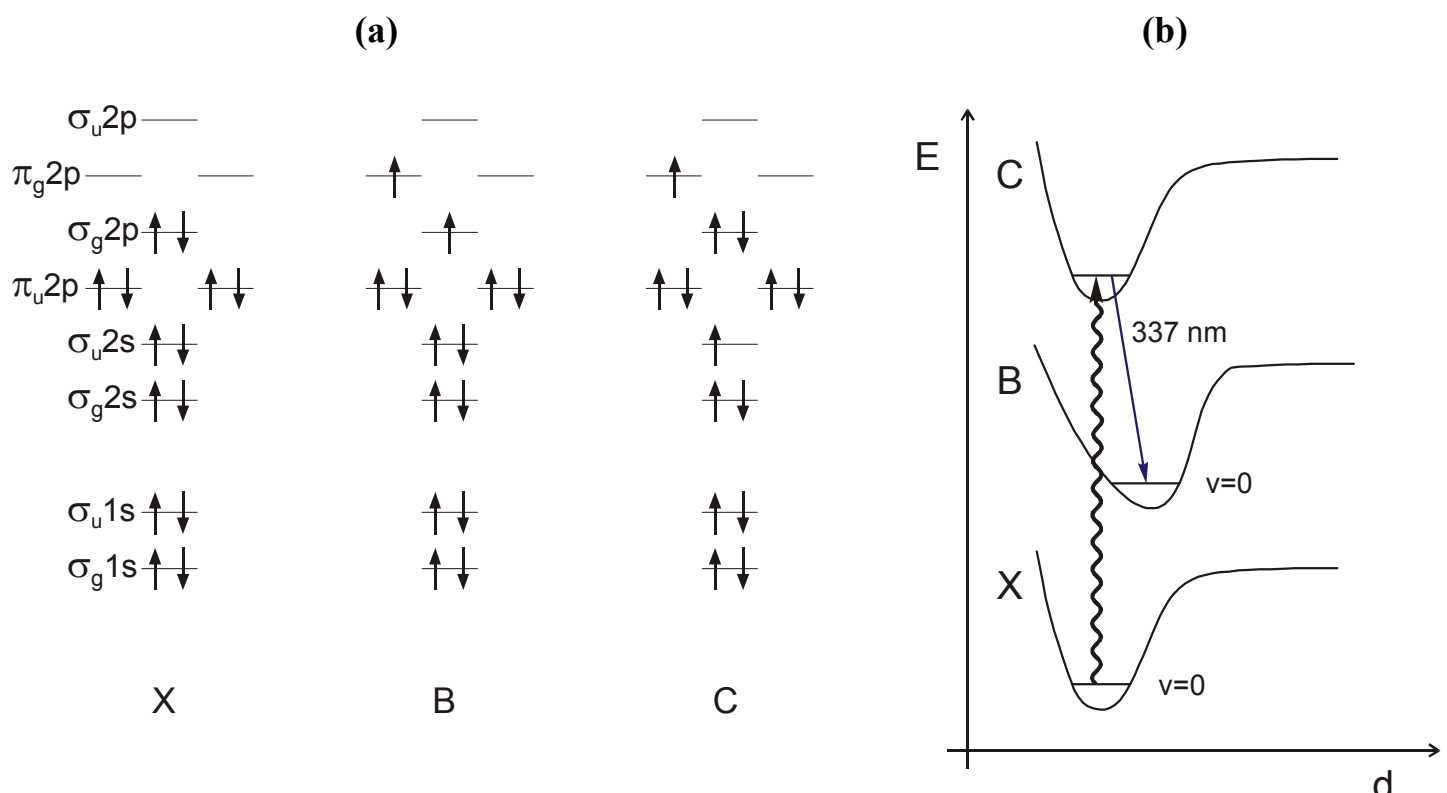
10.5. ábra Hélium – neon lézer energiaszint-diagramja



10.6. ábra. Argonlézer energiaszint-diagramja



10.7. ábra. Argonlézer felépítése

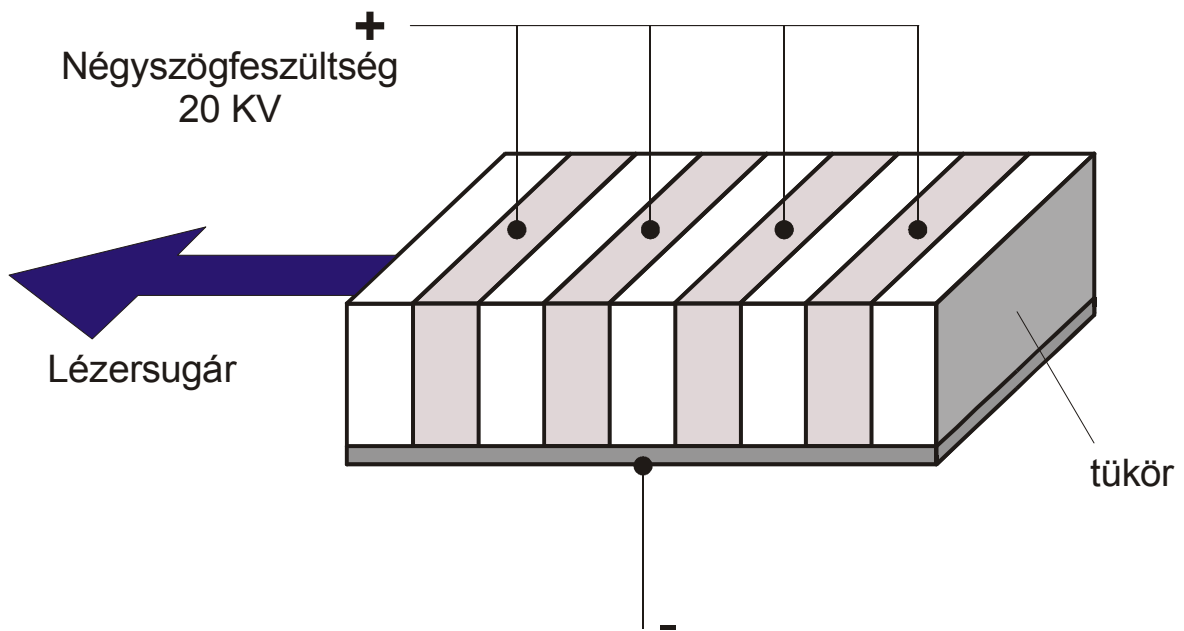


10.8. ábra Nitrogénlézer energiaszint-diagramjai

(a) A molekulapályák betöltöttsége az X alapállapotban, valamint a B és C triplet

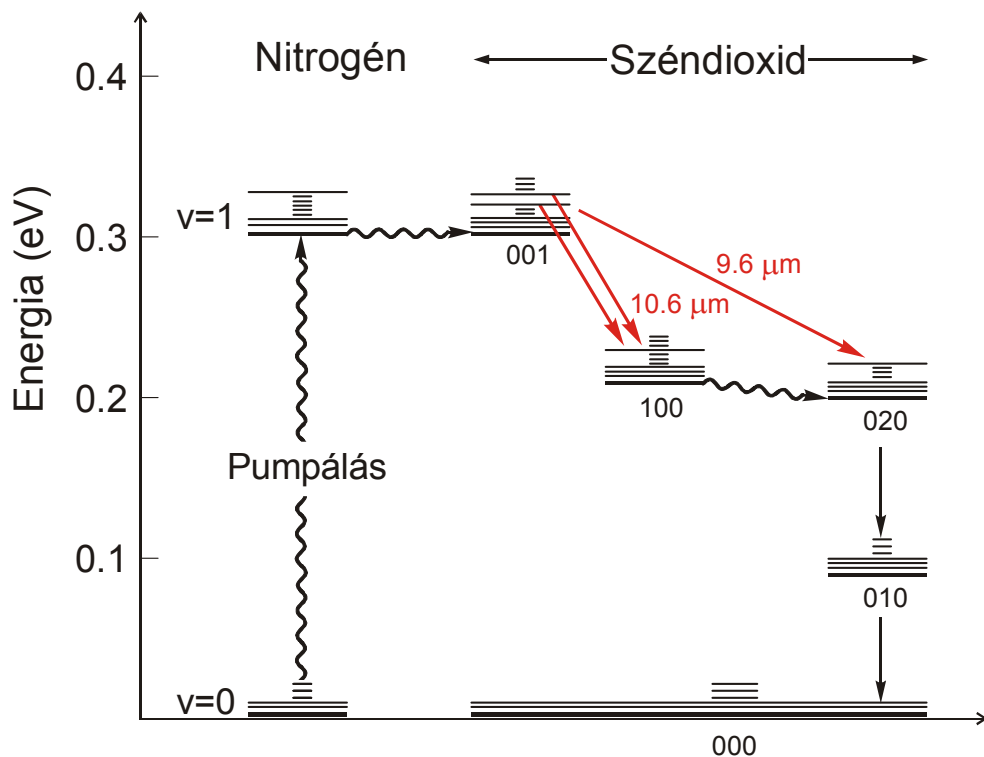
állapotban

(b) Az X, a B és a C állapotok potenciálgyorbói



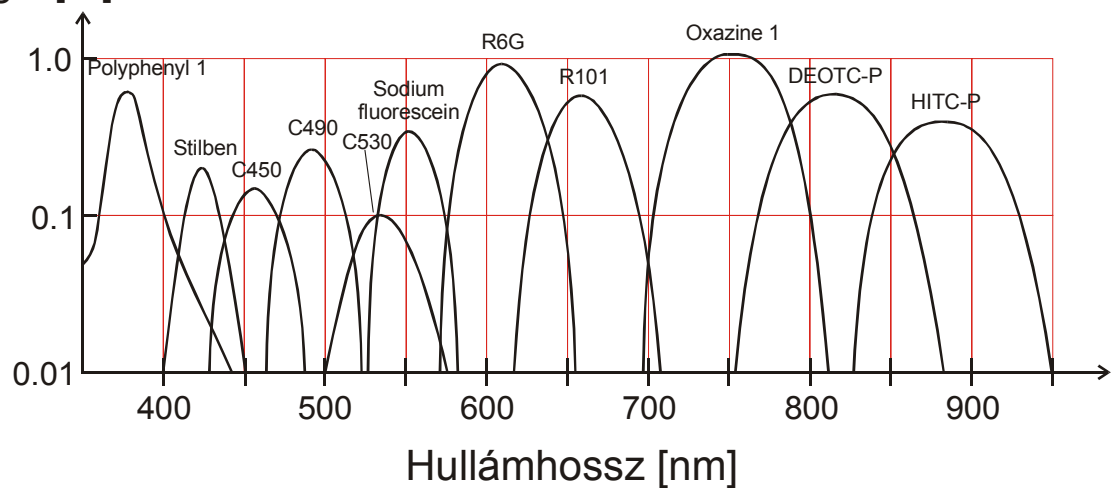
Hullámhossz: 337 nm (ultraibolya).

10.9. ábra. Nitrogénlézer felépítése

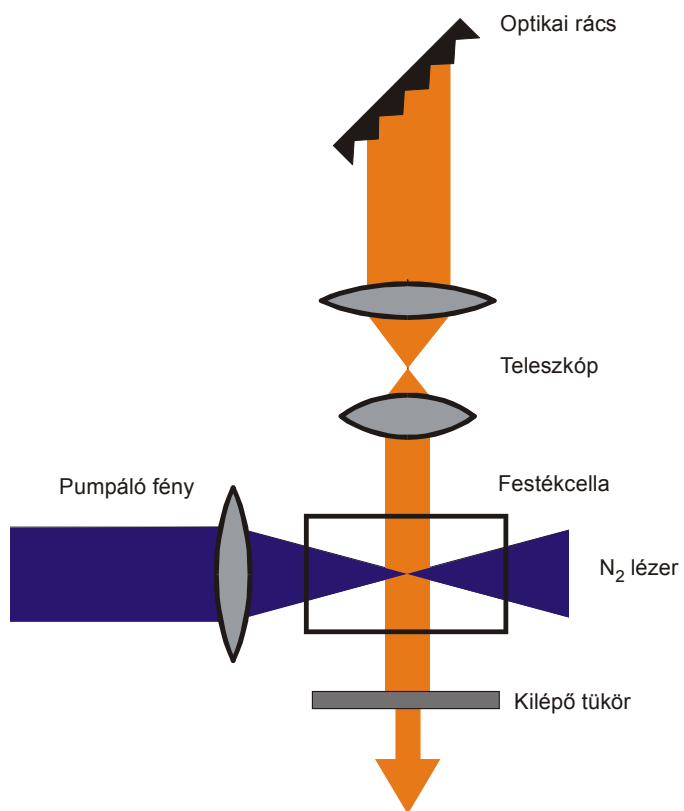


10.10. A széndioxidlézer energiaszint-diagramja

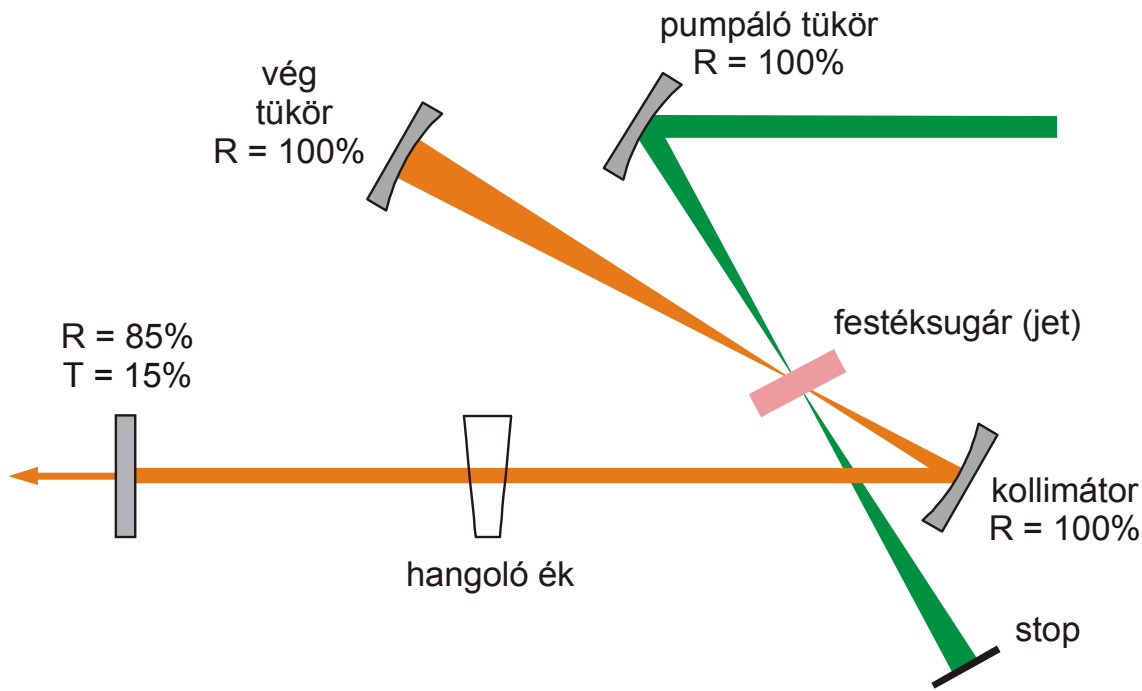
**Tipikus
lézersugár
energia [W]**



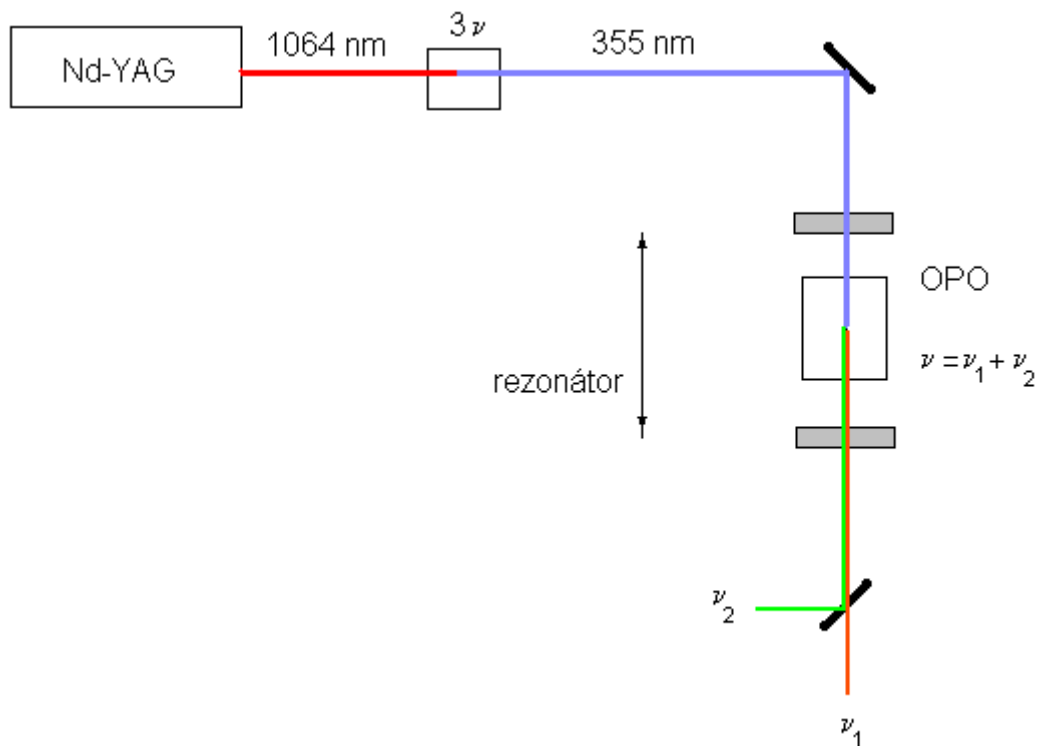
10.11. ábra. Festéklezer működési tartománya különböző festékekkel



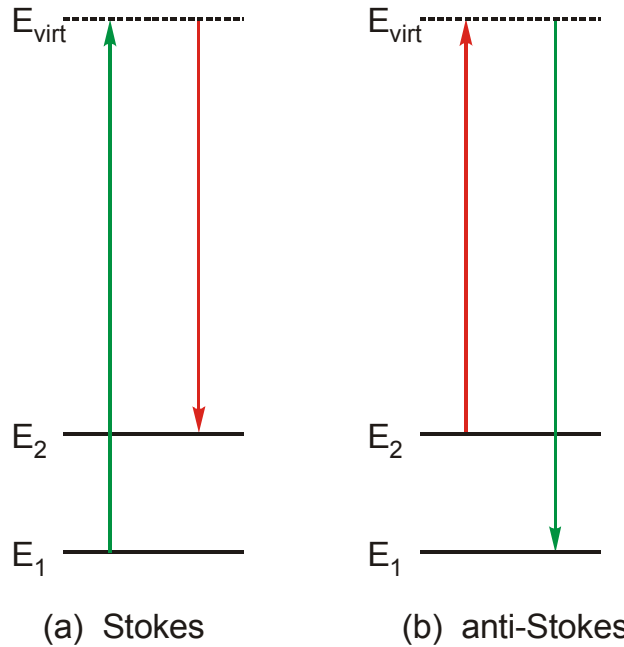
10.12. ábra. Folyadékcellás festéklezer



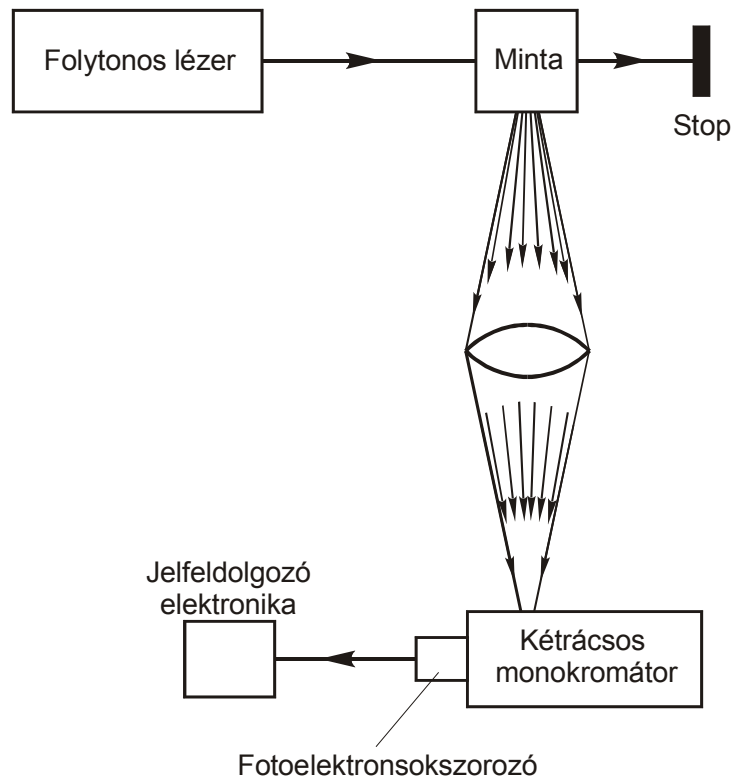
10.13. ábra. Oldatsugaras festéklézer



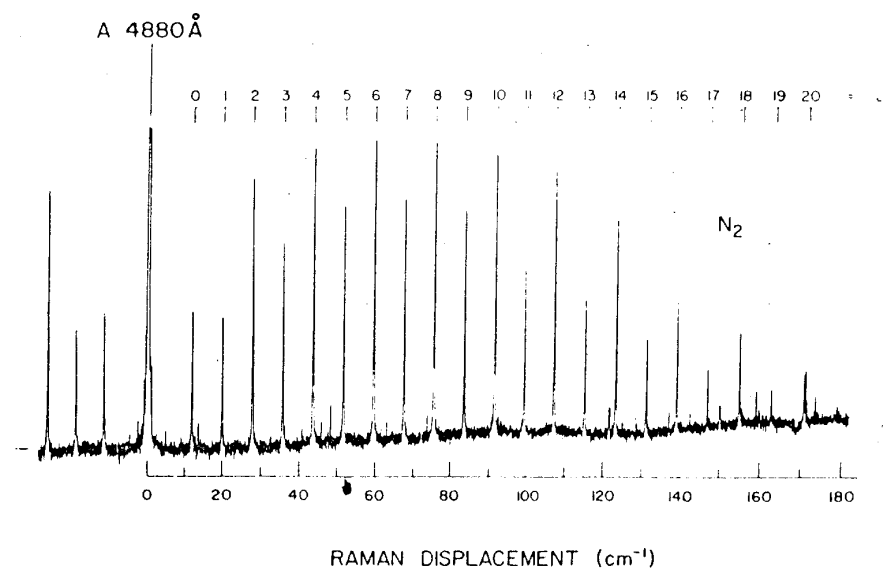
10.14. ábra. A lézersugár frekvenciának változtatása



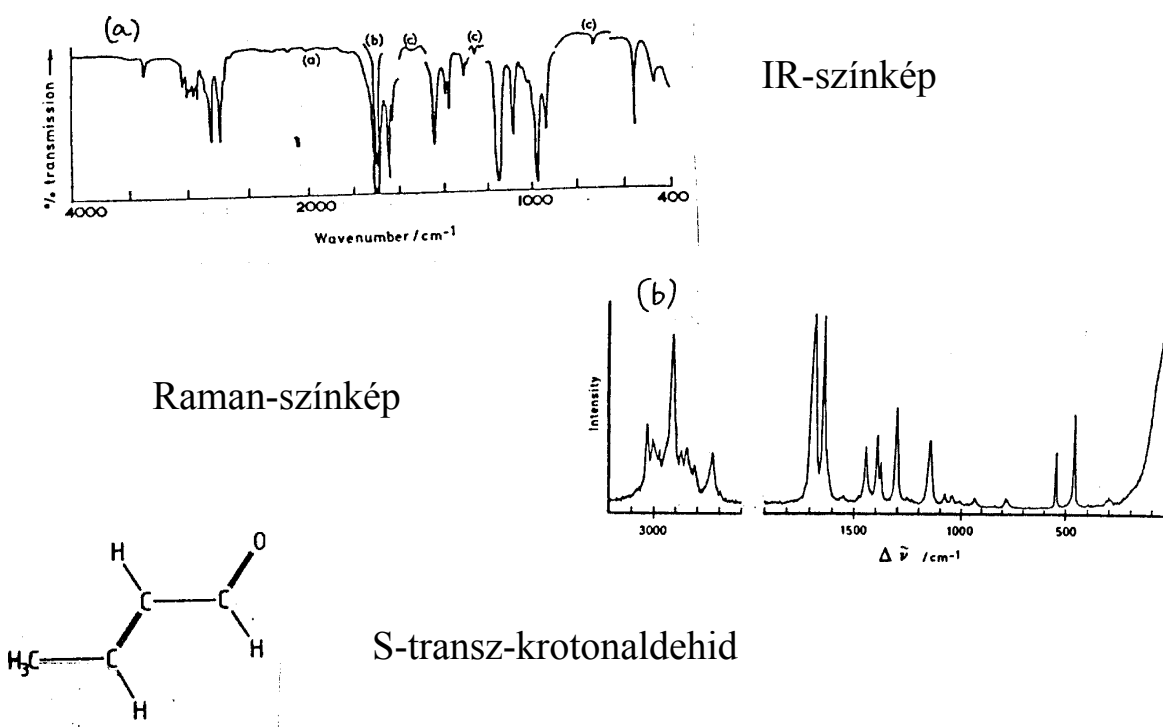
10.15. ábra. A molekulák energiaváltozása Raman-szórásban



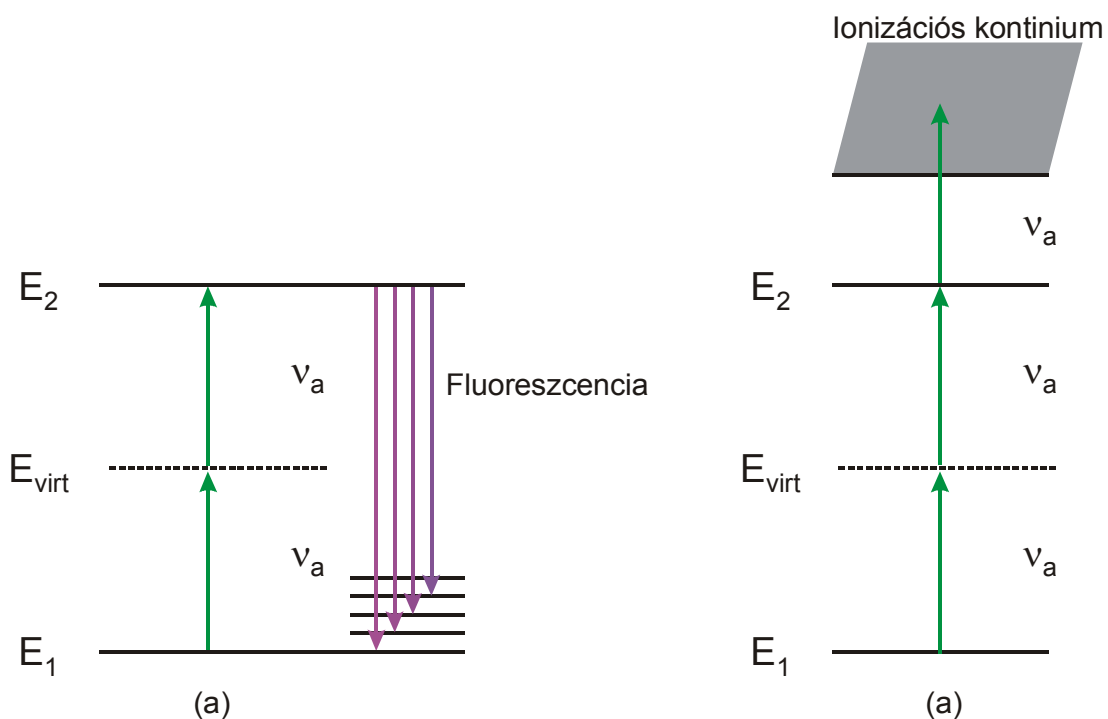
10.16. ábra. A Raman spektrométer felépítése



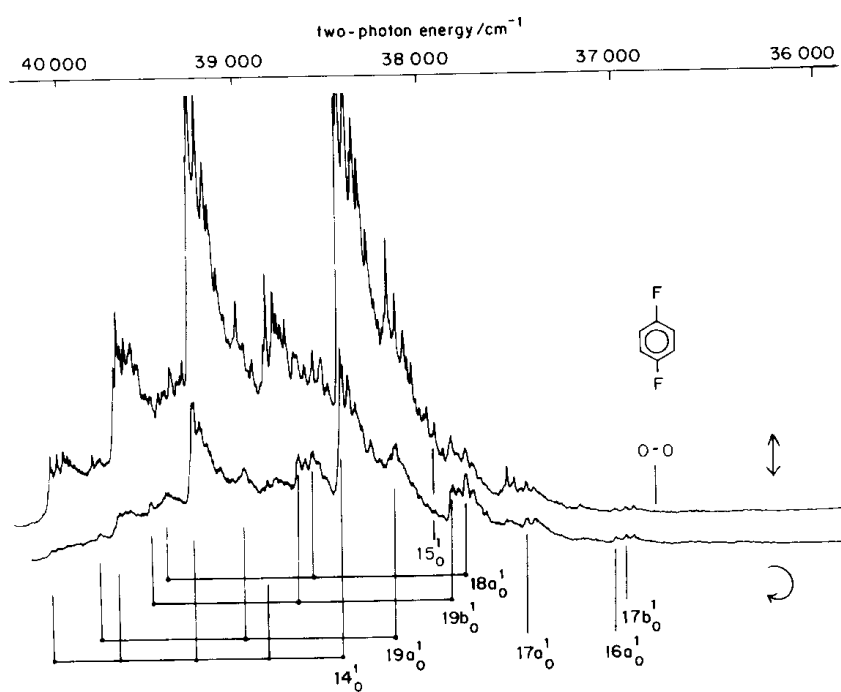
10.17. ábra. Forgási Raman-színkép



10.18. ábra. Krotonaldehid rezgési színképei

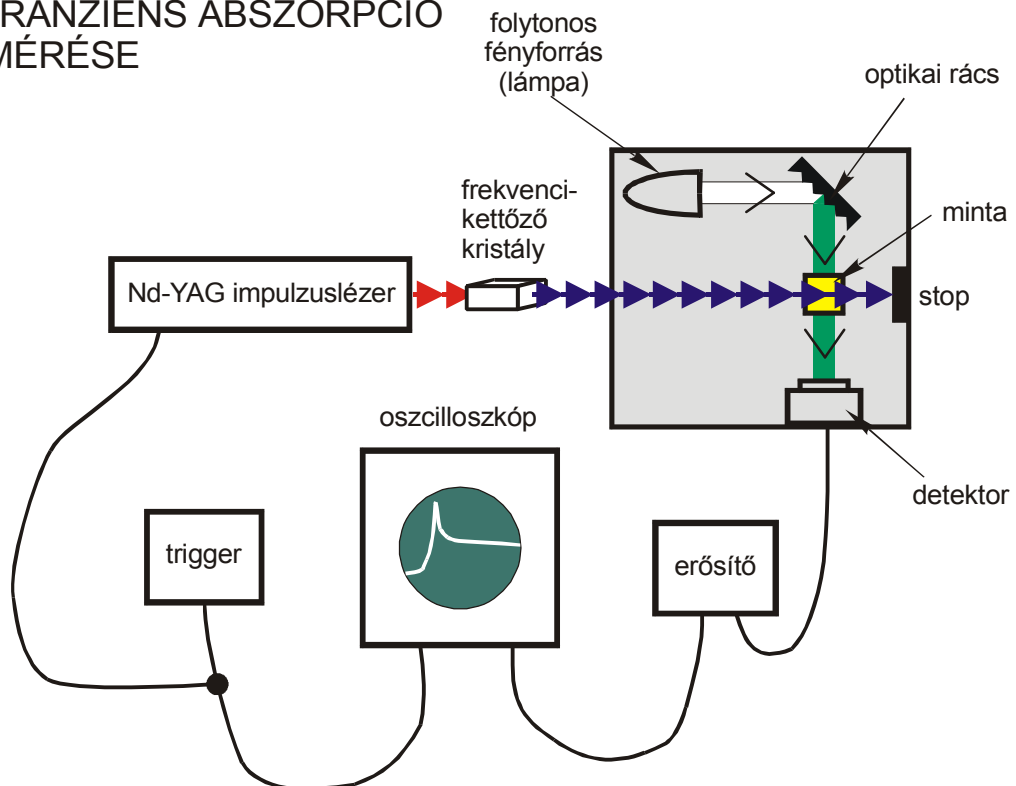


10.19. ábra. Kétfoton-abszorpció detektálási módszerei

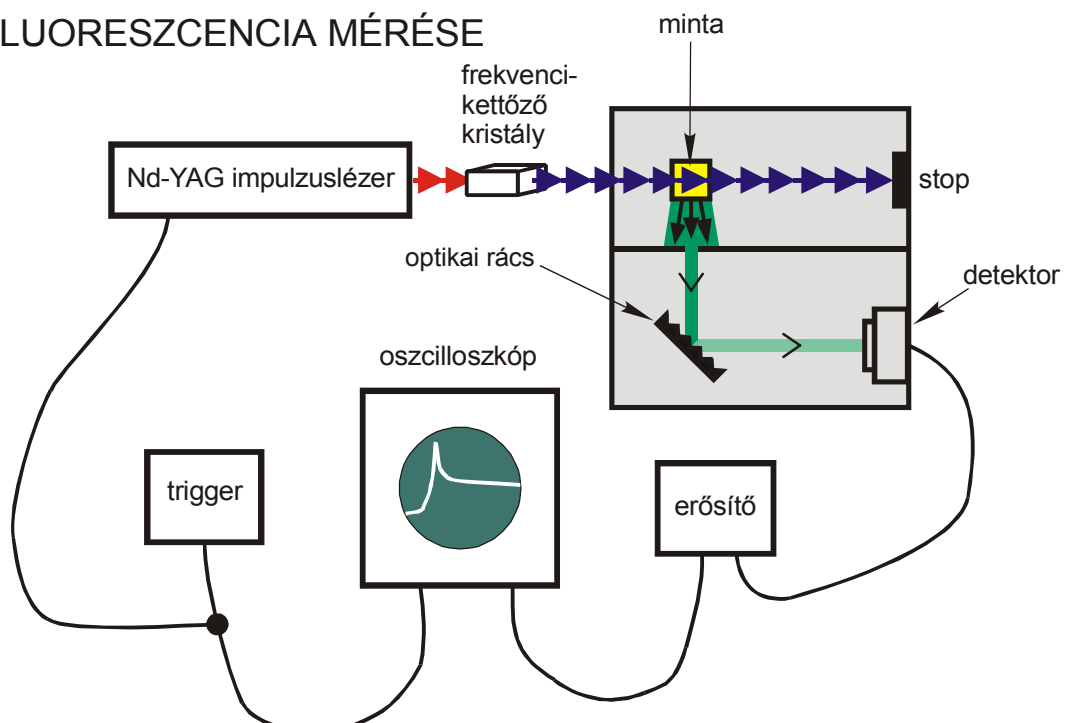


10.20. ábra. Az 1,4-difluorbenzol két-foton spektruma

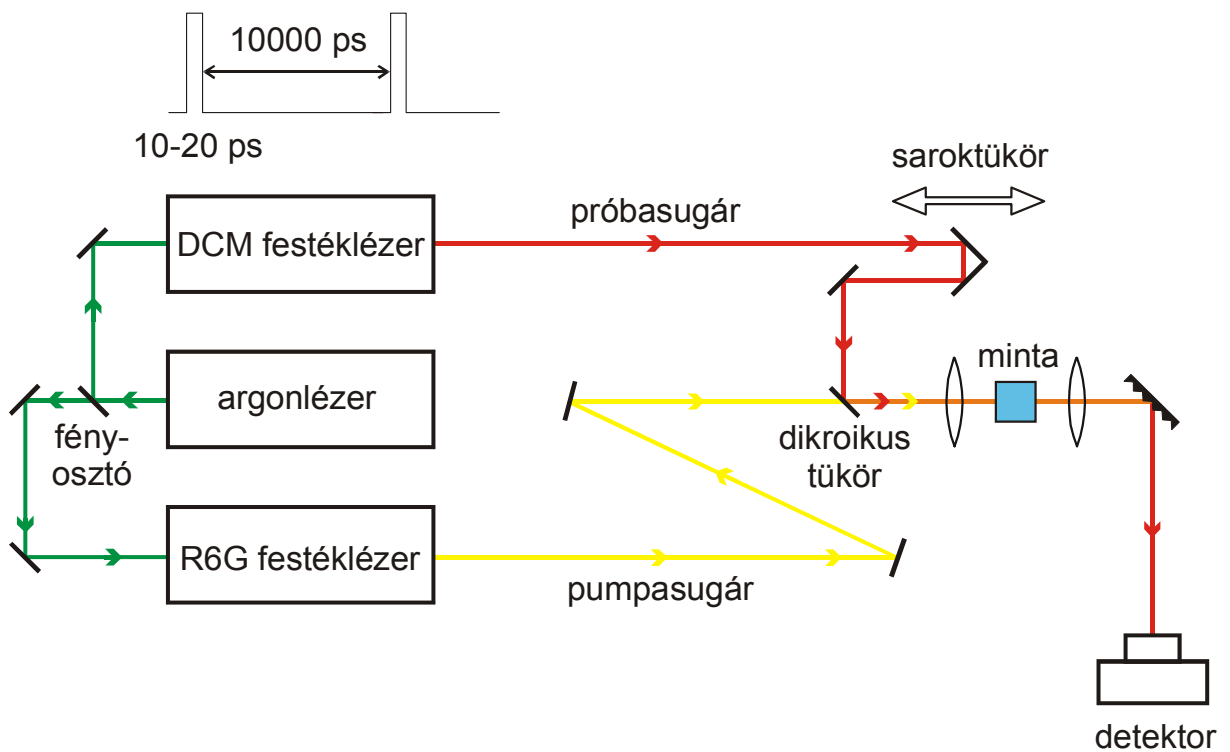
(a) TRANZIENS ABSZORPCIÓ MÉRÉSE



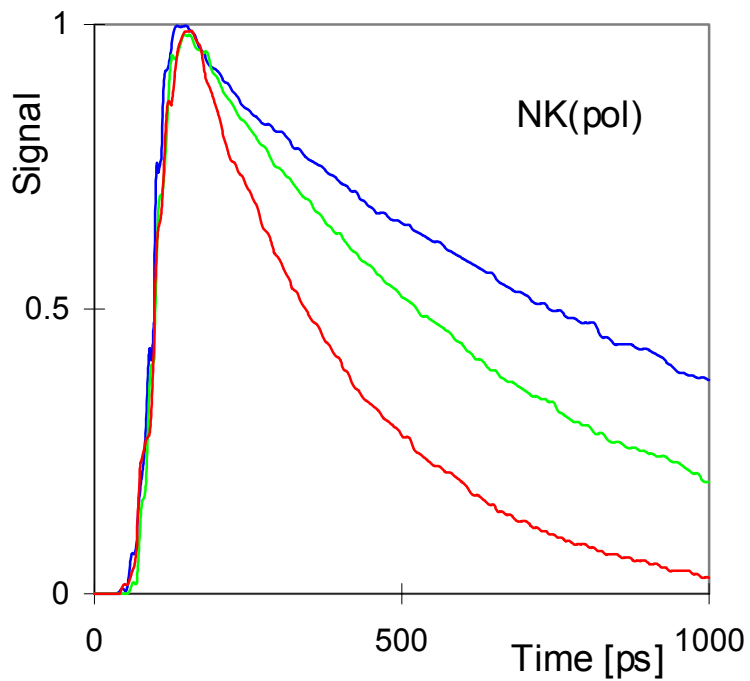
(b) FLUORESCENCIA MÉRÉSE



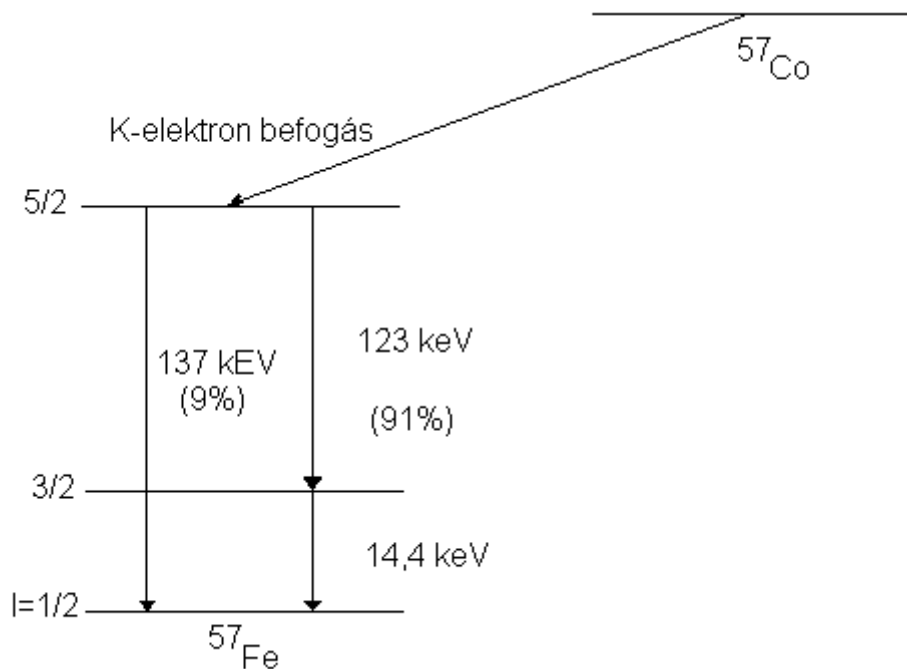
10.21. ábra. Villanófény-fotolízis



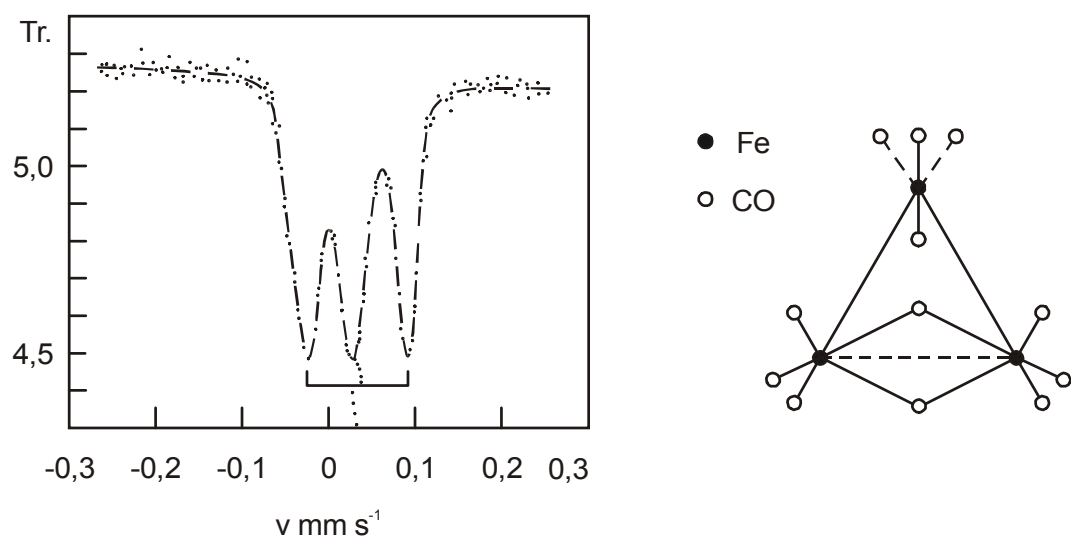
10.22. ábra. Pumpa-próba kísérlet



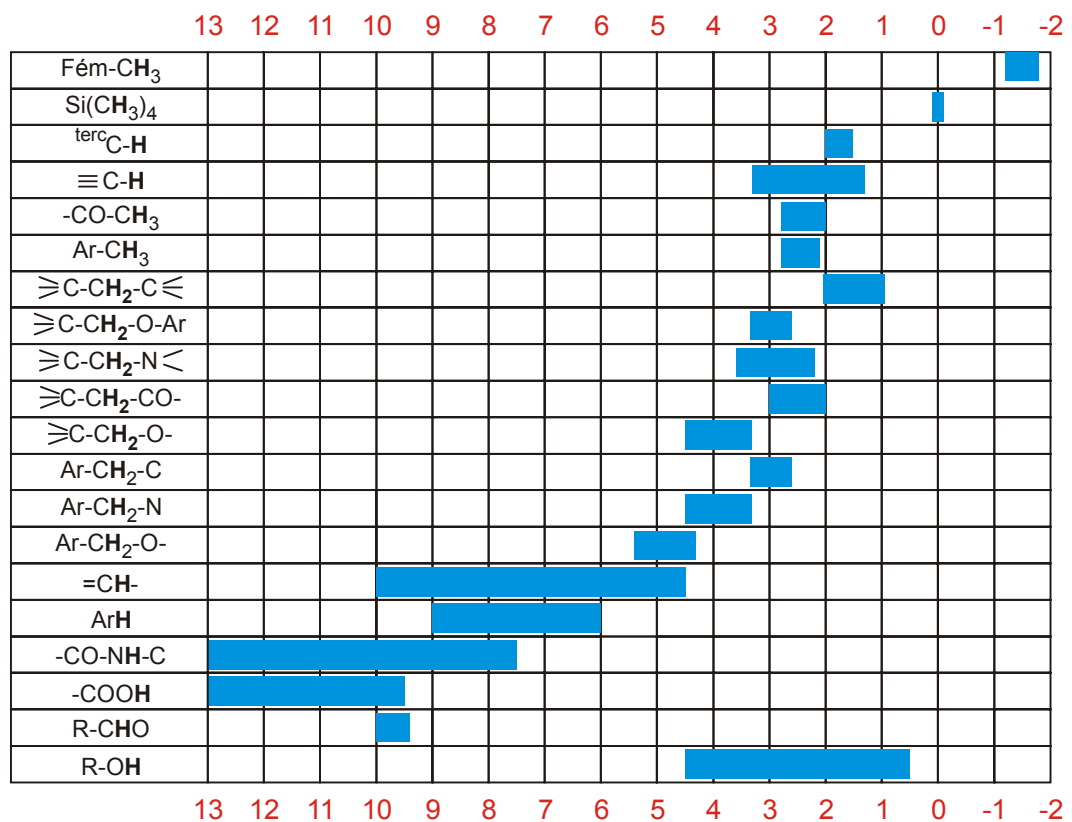
10.23. ábra. Nílusék tranziens abszorpciójának lecsengése



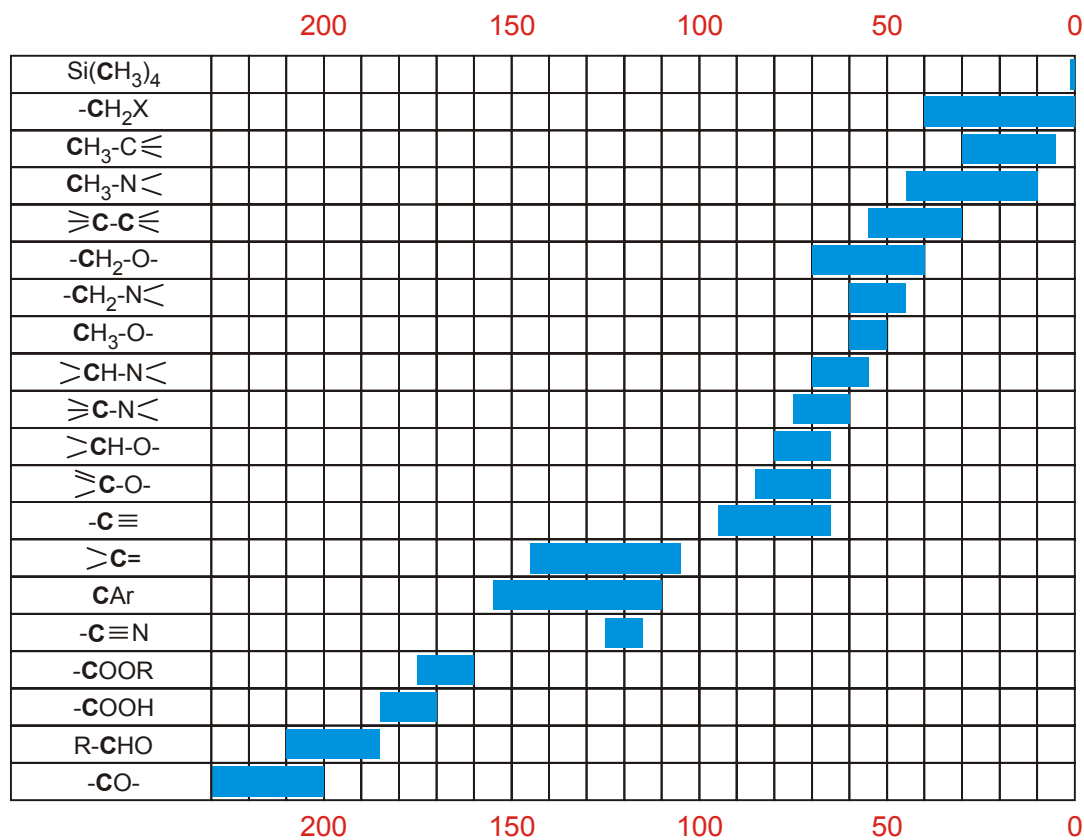
11.1. ábra. ^{57}Fe -mag Mössbauer-abszorpciójának vizsgálata. Sugárforrás: ^{57}Co izotóp



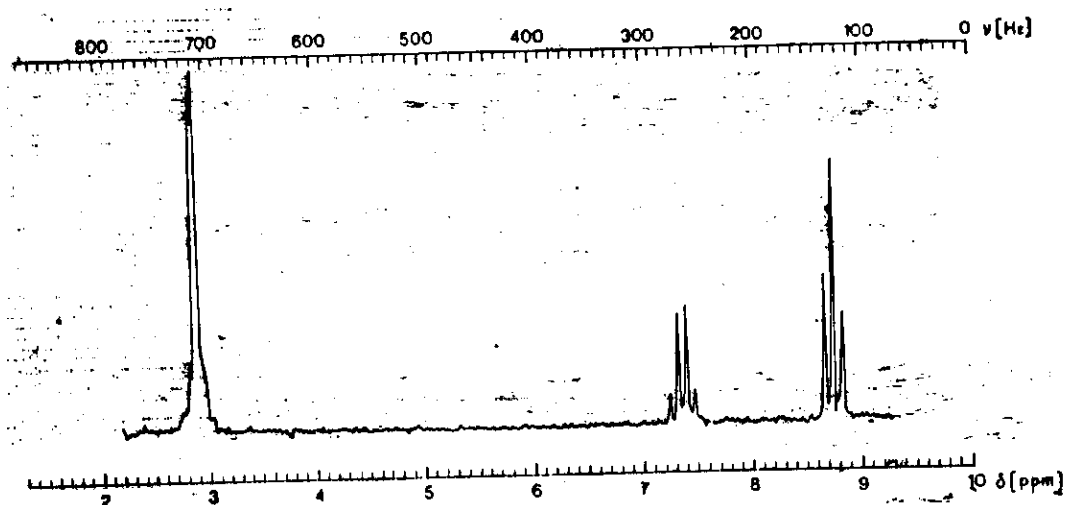
11.2. ábra. $\text{Fe}_3(\text{CO})_{12}$ -Mössbauer-színképe



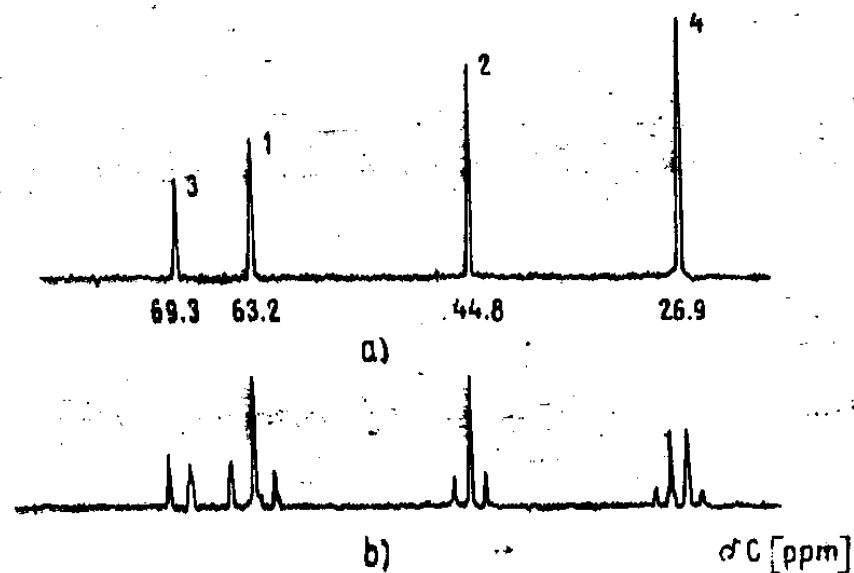
12.1. ¹H Kémiai eltolódások



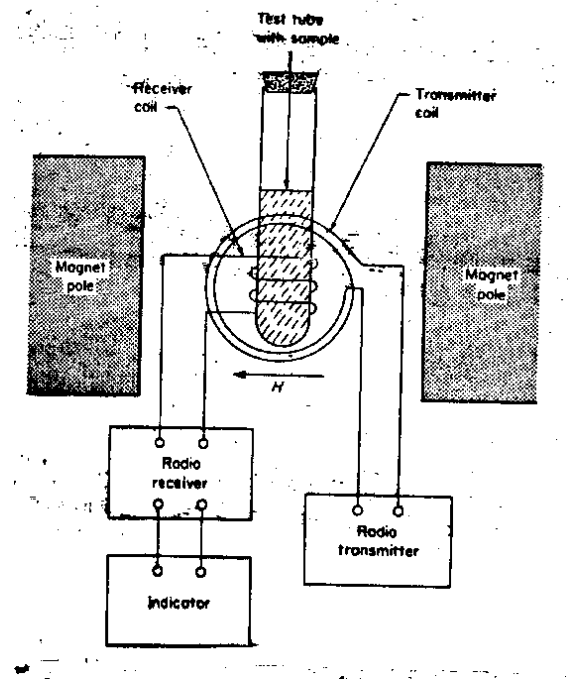
12.2. ¹³C Kémiai eltolódások



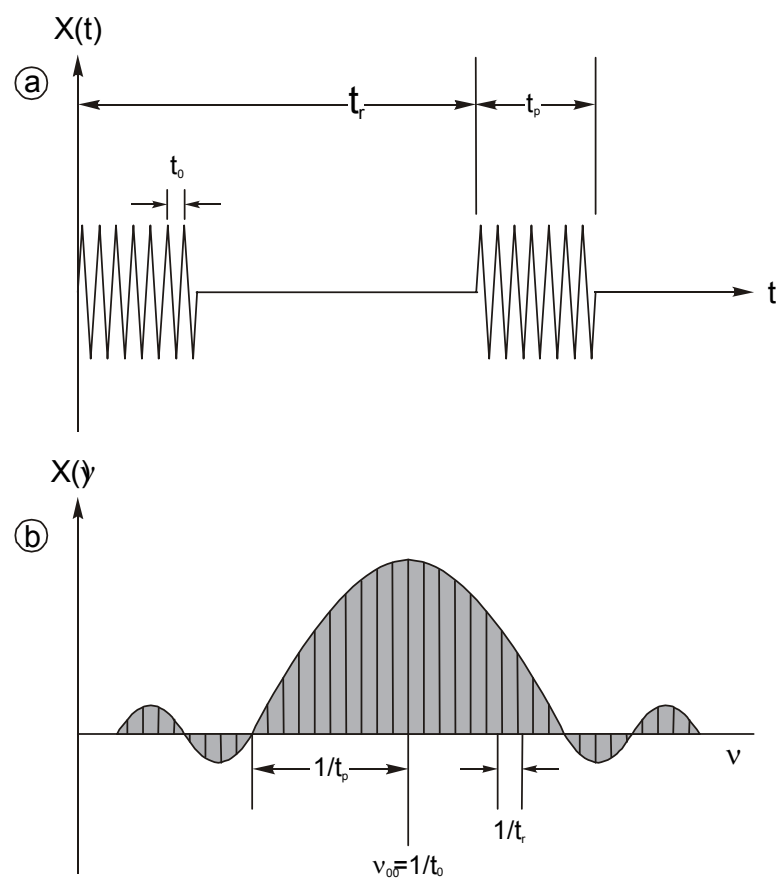
12.3. ábra. Etil-benzol ^1H NMR színképe



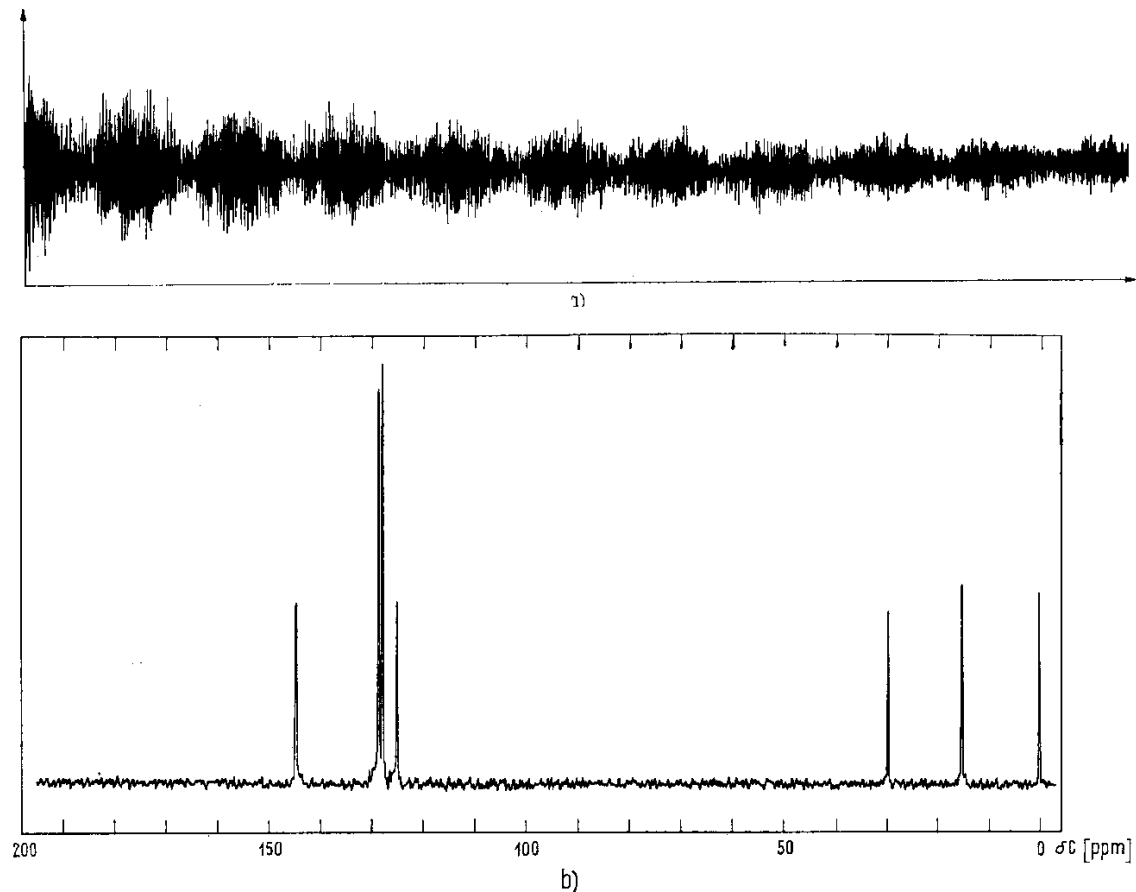
12.4. ábra. Az 1,3-butándiol normál ill. off-resonance technikával készült ^{13}C NMR színképe



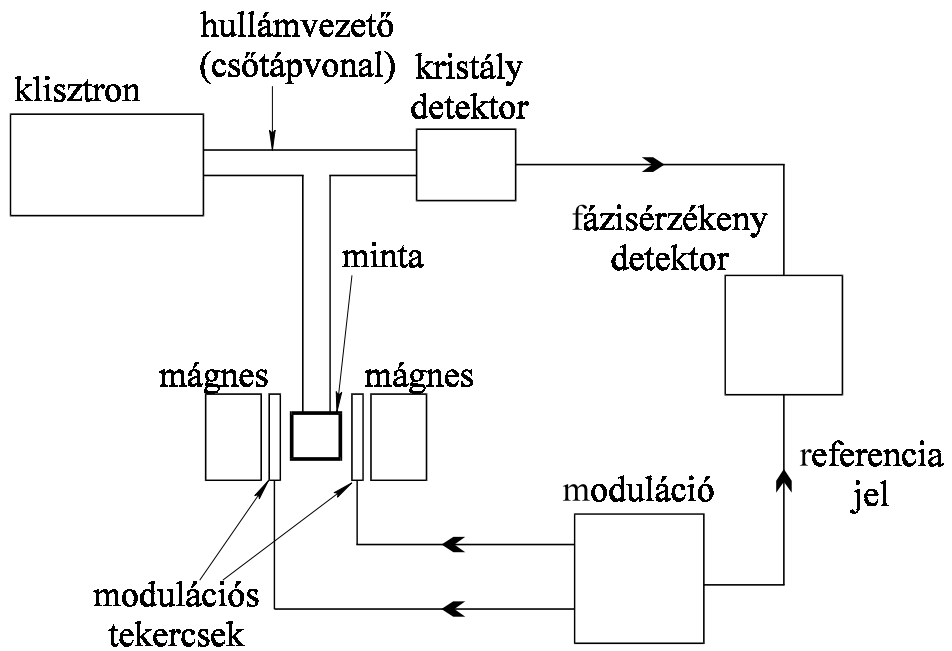
12.5. ábra. Az NMR-spektrométer felépítése



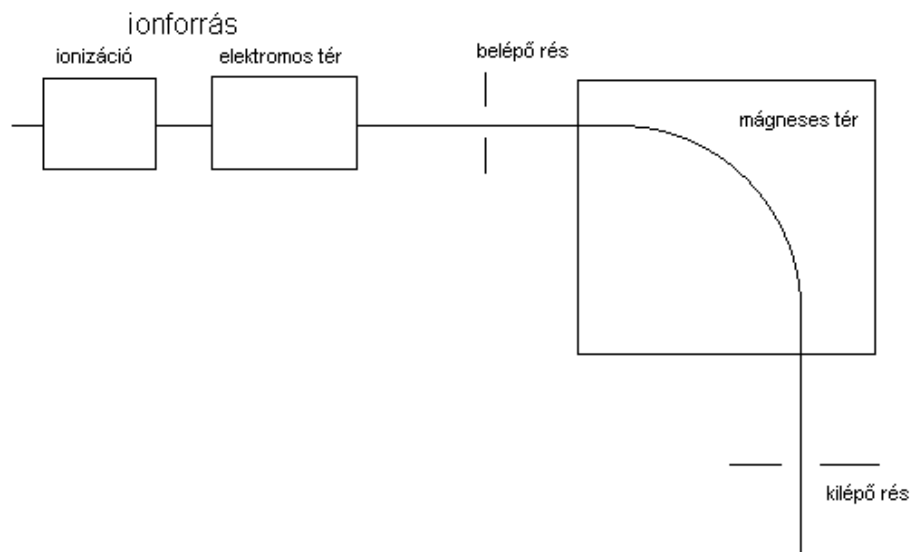
12.6. ábra. FT-NMR berendezés gerjesztő impulzussorozata és az impulzussorozat Fourier-transzformáltja



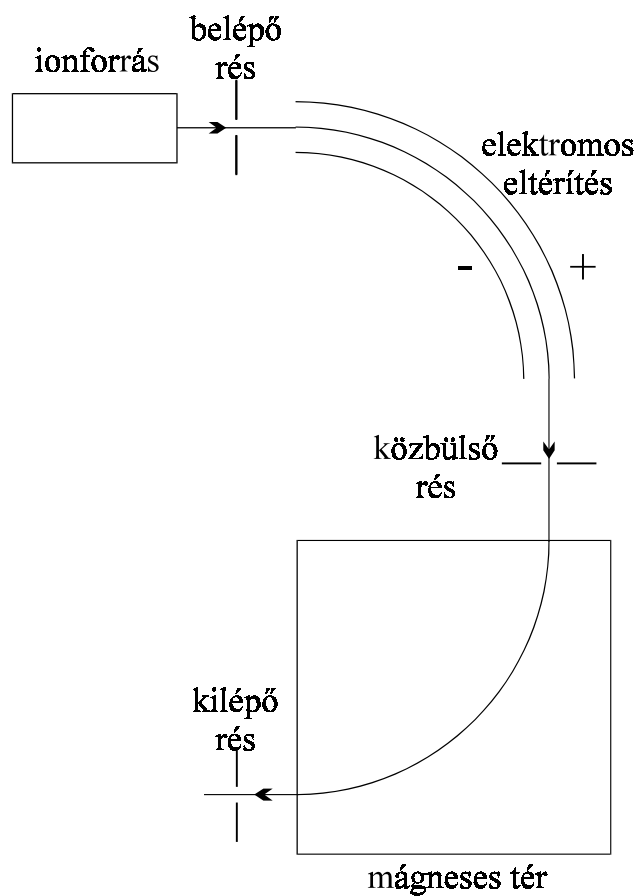
**12.7. ábra. A) Az etil-benzol deuteroacetinos oldatáról felvett FID görbe,
B) a Fourier-transzformációval kapott ^{13}C -NMR-spektrum**



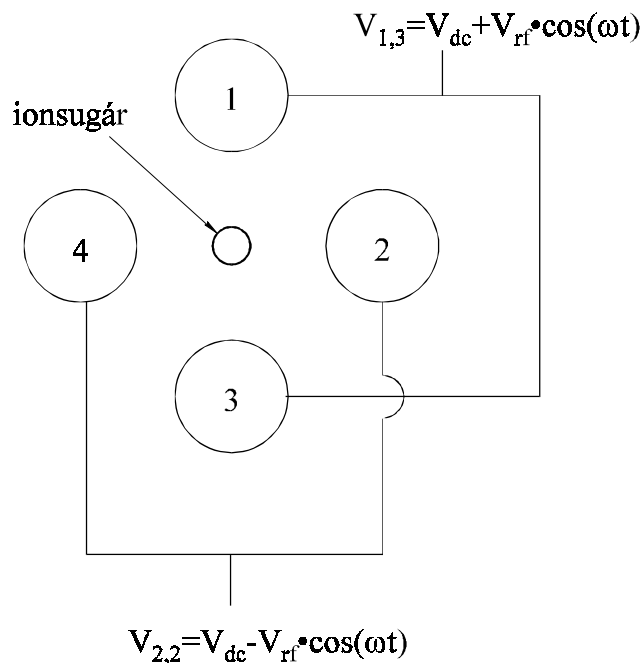
13.1. ábra. Az ESR-készülék felépítése



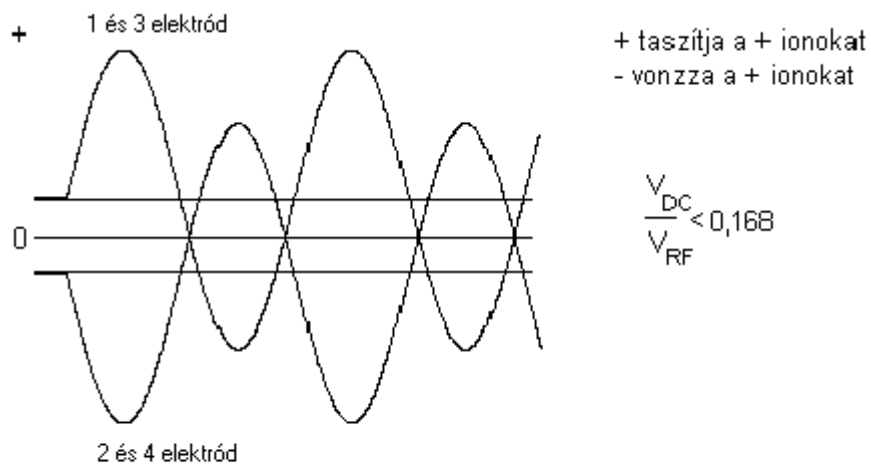
14.1. ábra. Egyszeres fókuszálású tömegspektrométer



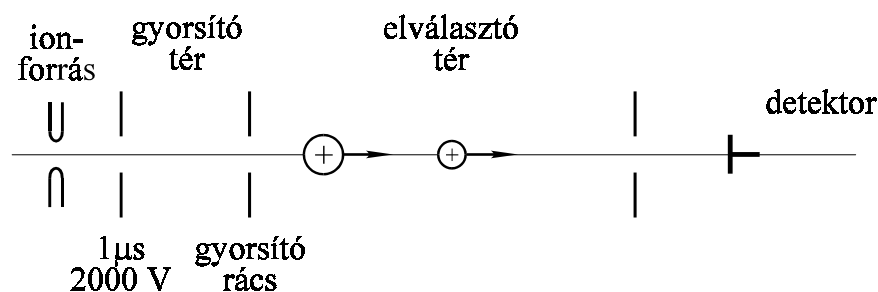
14.2. ábra. Kettős fókuszálású tömegspektrométer



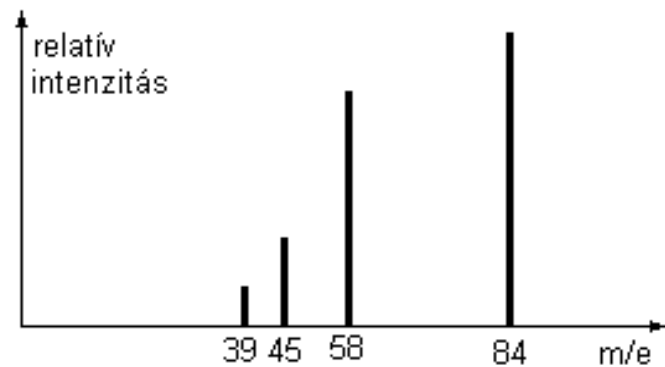
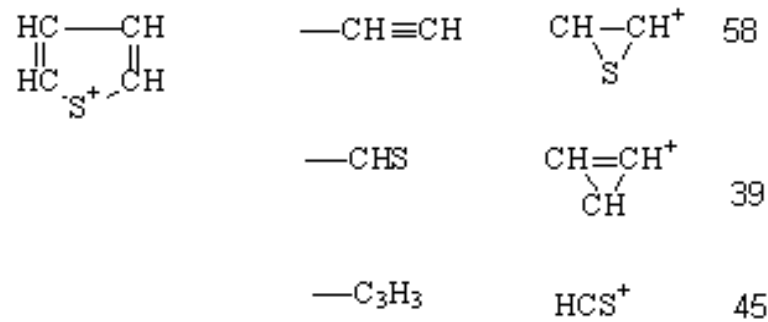
14.3. ábra. Kvadrupol tömegráfiás tömegráfiás spektrométer



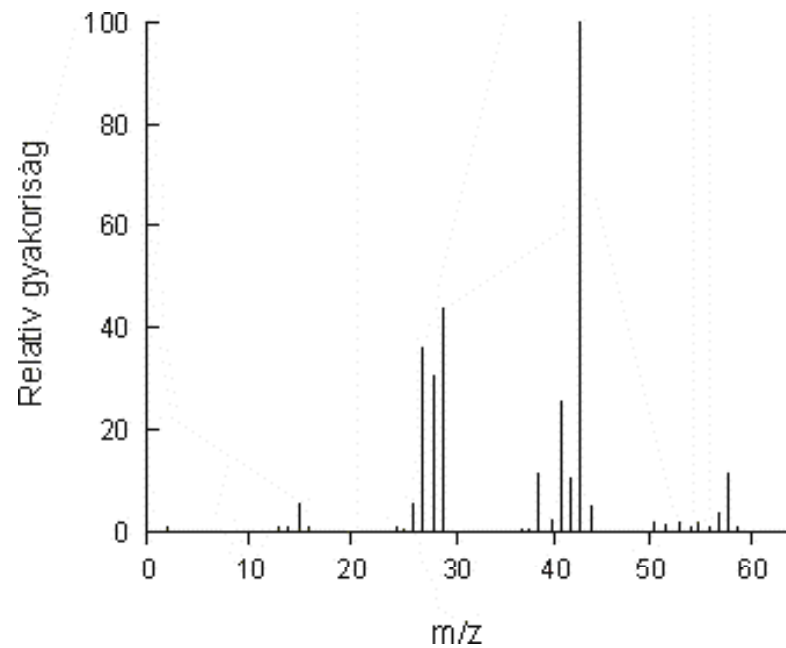
14.4. ábra. Kvadrupol tömegráfiás tömegráfiás spektrométer elektródjainak feszültsége az idő függvényében



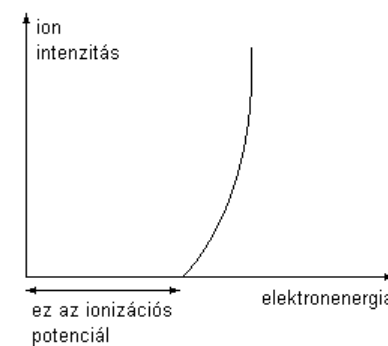
14.5. ábra. Repülési idő tömegráfiás tömegráfiás spektrométer



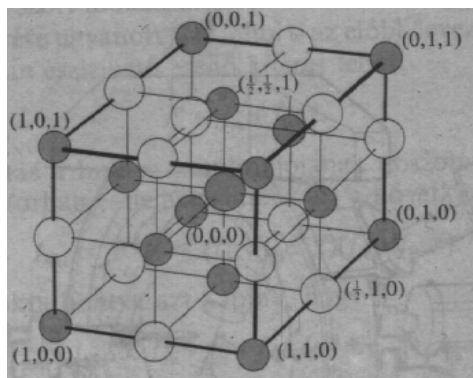
14.6. Tiofén tömegspektruma



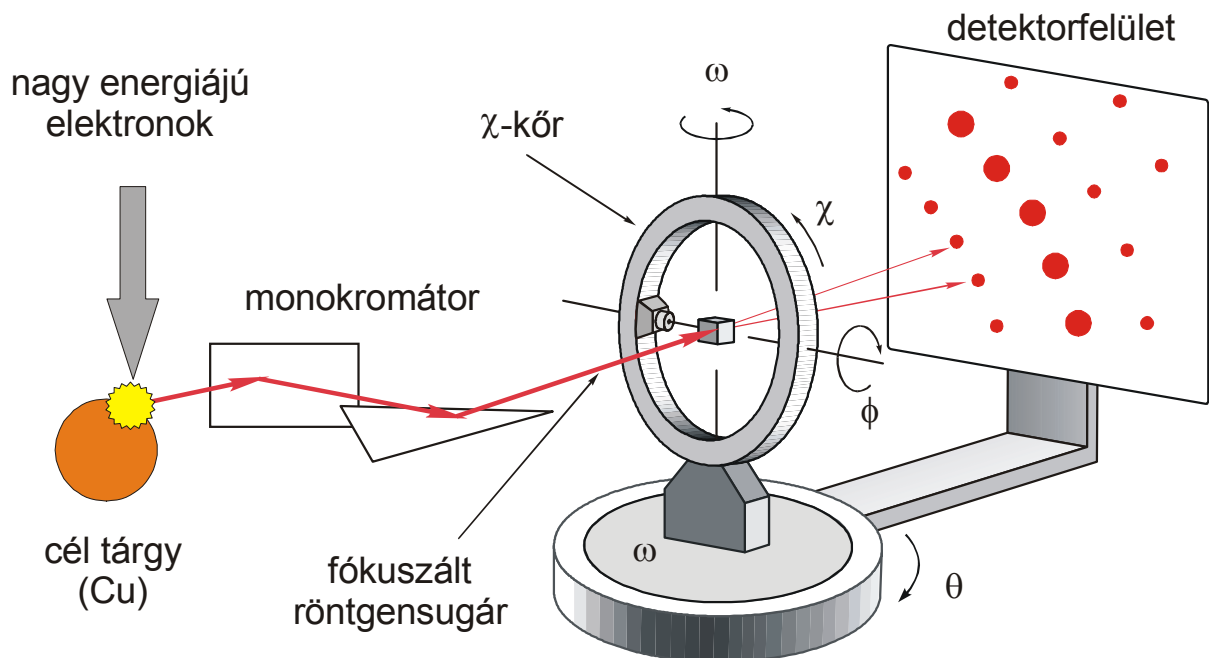
14.7. ábra. n-bután tömegspektruma



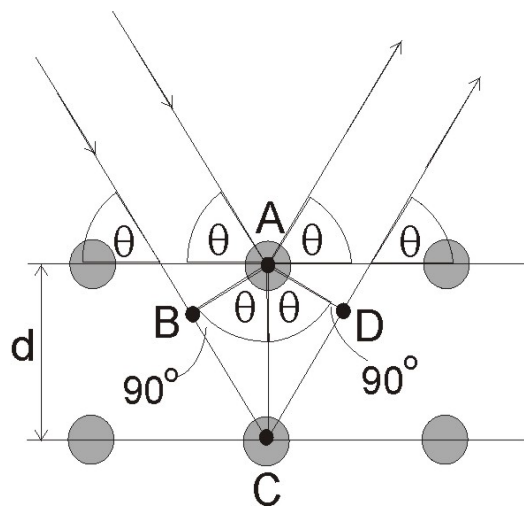
14.8. ábra. Ionizációs hatásfok görbe



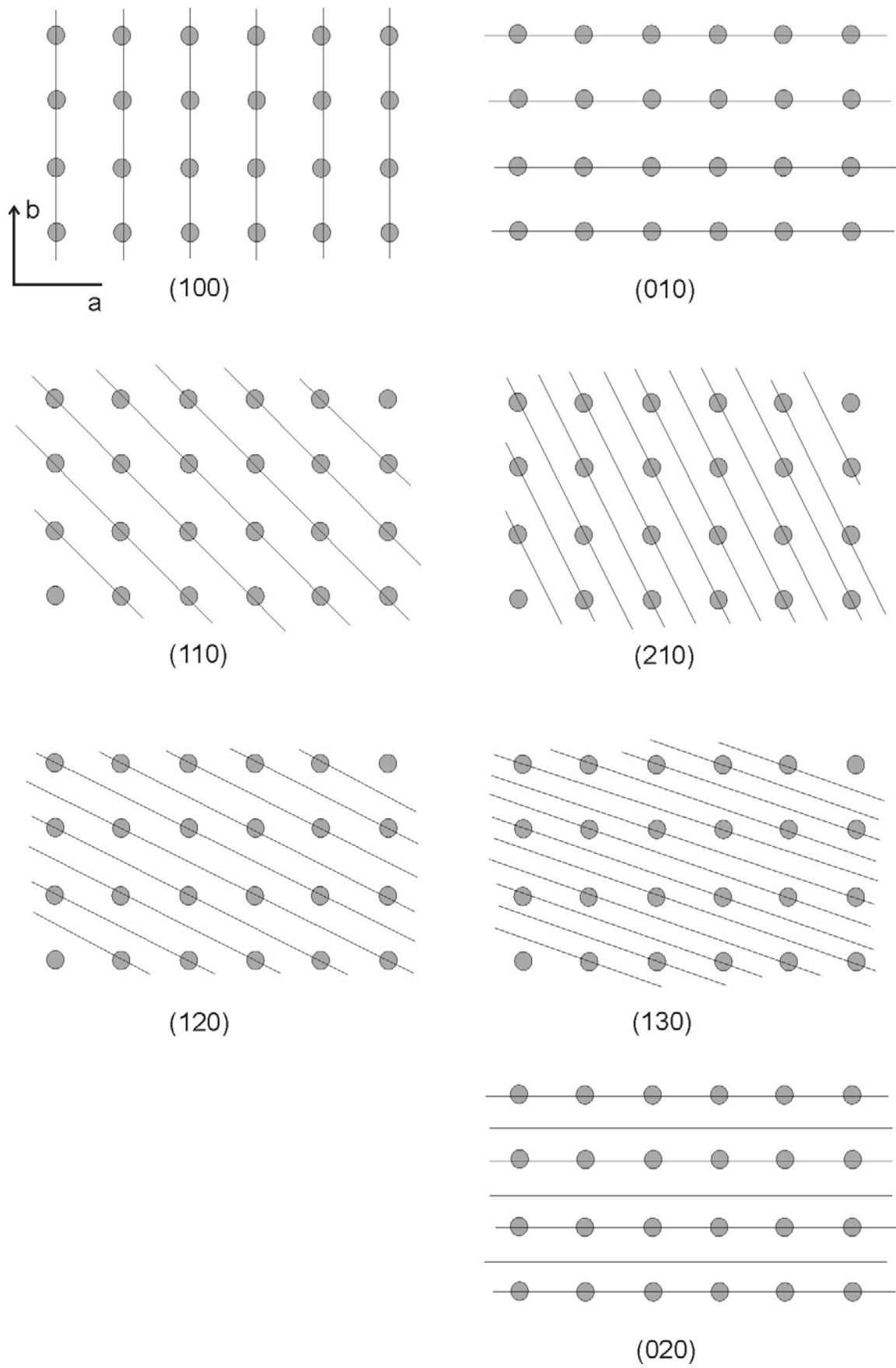
15.1. ábra. Az n-ik atom pozíciója az elemi cellában



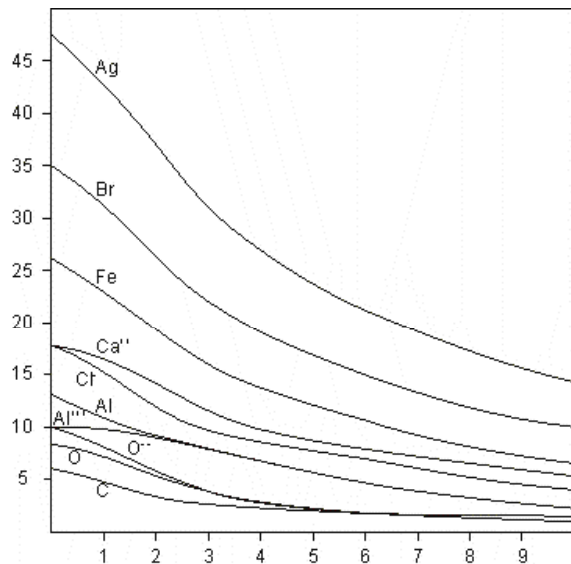
15.2. ábra. Számítógéppel vezérelt röntgen diffraktométer



15.3. ábra. Röntgensugár visszaverődése két egymás alatti rácssíkról

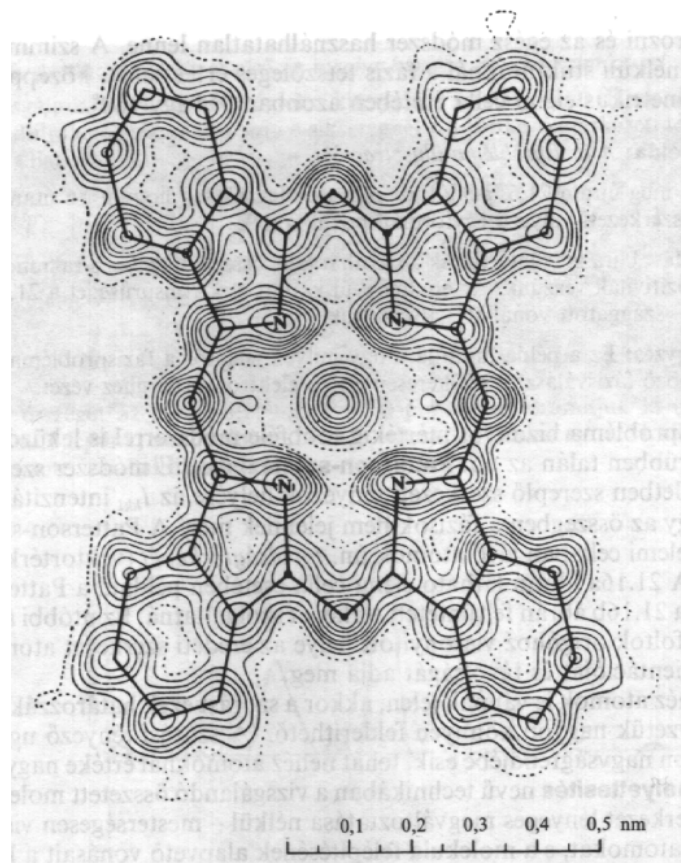


15.4.ábra. Különböző $(hk\ell)$ Miller-indexű rácssíkok



Atomi szórástényezők $\sin \theta/\lambda$ függvényében

15.5. ábra



15.6. ábra. Ni-Ftalocianid elektronsűrűség térképe